

УДК 537.635; 548.4

**ФОРМА ЛИНИИ КОМБИНИРОВАННОГО РЕЗОНАНСА
НА ДИСЛОКАЦИЯХ В ПОЛУПРОВОДНИКАХ**

А. Е. Кошелев, В. Я. Кравченко, Д. Е. Хмельницкий

Уравнения переноса для элементов матрицы плотности электрона в одномерной дислокационной зоне используются для исследования формы линии комбинированного резонанса. Рассмотрены случаи, когда дислокация содержит проводящие сегменты большой или малой длины L . Показано, что для больших L и низкой частоты переменного поля ($\omega\tau \ll 1$) линия поглощения имеет вид антирезонанса, а при уменьшении L форма линии деформируется и кривая поглощения становится похожей на кривую дисперсии для обычного ЭПР. Качественное согласие с данными эксперимента на деформированном кремнии свидетельствует в пользу существования одномерных дислокационных зон.

Ядро дислокации, образующейся при пластической деформации кристалла, имеет симметрию ниже, чем симметрия недеформированного кристалла. В частности, эта локальная симметрия ядра не содержит центра инверсии. Поэтому, если электроны, связанные на дислокации, образуют одномерную зону, то эффективный гамильтониан в такой зоне с учетом спин-орбитального взаимодействия имеет вид

$$\mathcal{H} = \varepsilon(p) - \frac{1}{2} V p^2_x, \quad (1)$$

где p — квазиимпульс электрона, направленный вдоль оси дислокации, которая совпадает с осью z , а V — константа размерности скорости, которая имеет спин-орбитальное происхождение и определяется величиной кристаллического поля асимметрии в ядре дислокации (за направление асимметрии выбрана ось y). В присутствии постоянного магнитного поля H такие электроны должны резонансно поглощать энергию высокочастотного электрического поля на парамагнитной частоте, если H не параллельно оси x (комбинированный резонанс [1]).

Описанная физическая картина была выявлена экспериментально при исследовании ВЧ проводимости в пластически деформированных образцах кремния.

Дислокации в неотожженных деформированных образцах кремния имеют оборванные связи, и на эксперименте наблюдается обычный ЭПР [2]. Если деформированные образцы подвергнуть отжигу при $T > 800$ °С, то дислокации реконструируются, и ЭПР перестает наблюдаться. В этих условиях тем не менее наблюдается значительная ВЧ проводимость вдоль дислокаций, имеющая резонансную особенность на парамагнитной частоте [3]. Эта особенность была интерпретирована как КР на электронах, принадлежащих одномерным дислокационным зонам [4]. Исследование зависимости резонансного поглощения от взаимной ориентации дислокационных линий, постоянного магнитного поля H и переменного электрического поля E убедительно свидетельствует в пользу такой интерпретации.

Важной особенностью экспериментальных спектров КР [3, 4] является необычная форма линии: кривая поглощения в зависимости от H похожа

на кривую дисперсии для обычного ЭПР, а кривая дисперсии — на кривую поглощения. Если КР является резонансом на электронах проводимости, то можно ожидать искажения формы линии из-за эффектов динамического сужения, вызванного рассеянием носителей. Другой механизм искажения, предложенный в [5], состоит в том, что дислокация содержит изолированные друг от друга проводящие отрезки. При этом величина и фаза переменного поля, действующего на электрон, отличается от величины и фазы внешнего поля (эффект деполяризации). В настоящей работе рассчитана форма линии КР с учетом этих факторов.

1. Кинетическое уравнение и уравнения переноса

Уравнение для спиновой матрицы плотности электрона $f_{\sigma\sigma'}$ (p) имеет вид

$$\frac{\partial \hat{f}}{\partial t} + i[\hat{\epsilon}_p, \hat{f}]_- + \frac{1}{2}[\hat{v}_p, \frac{\partial \hat{f}}{\partial z}]_+ + eE_x \frac{\partial \hat{f}}{\partial p} = I_p(\hat{f}). \quad (2)$$

Знаками $[\dots, \dots]_-$ и $[\dots, \dots]_+$ обозначены коммутатор и антикоммутатор \hat{f} с зонным гамильтонианом

$$\hat{\epsilon}_p = \epsilon_0(p) - (Vp\hat{\sigma}_x + g\mu_B \mathbf{H}\hat{\sigma})/2 \quad (3a)$$

и скоростью

$$\hat{v}_p = \frac{\partial \hat{\epsilon}_p}{\partial p} = p/m - \frac{1}{2} V\hat{\sigma}_x. \quad (3b)$$

Уравнение (2) можно вывести, например, используя стандартную процедуру (6). Для простоты в гамильтониане (3a) выбран квадратичный закон дисперсии $\epsilon_0(p) = p^2/2m$ и изотропный g -фактор. Матрицу плотности $\hat{f}(p)$ можно представить в виде

$$\hat{f}(p) = \frac{1}{2}[f_0(p) + \mathbf{f}(p)\hat{\sigma}], \quad (4)$$

где $f_0(p) = \text{Sp } \hat{f}(p)$ совпадает со скалярной функцией распределения, а $\mathbf{f}(p)$ описывает спиновую поляризацию электронов с импульсом p . Подставляя (4) в (2), получим

$$\frac{\partial f_0}{\partial t} + \frac{p}{m} \frac{\partial f_0}{\partial z} - \frac{V}{2} \frac{\partial \mathbf{f}_x}{\partial z} + eE_x \frac{\partial f_0}{\partial p} = I_0(f), \quad (5a)$$

$$\frac{\partial \mathbf{f}}{\partial t} + [\mathbf{\Omega}_p \times \mathbf{f}] + \frac{p}{m} \frac{\partial \mathbf{f}}{\partial z} - \frac{V}{2} \mathbf{n}_x \frac{\partial f_0}{\partial z} + eE_x \frac{\partial \mathbf{f}}{\partial p} = \mathbf{I}(f), \quad (5b)$$

где $\mathbf{\Omega}_p = \mathbf{\Omega}_0 + Vp\mathbf{n}_x$, $\mathbf{\Omega}_0 = g\mu_B \mathbf{H}$, а \mathbf{n}_x — единичный вектор, направленный вдоль оси x . В соответствии с экспериментальной ситуацией мы будем предполагать, что электронный газ на дислокациях не вырожден, и интегралы столкновений, описывающие релаксацию, линейны по f_0 и \mathbf{f} . Мы ограничимся случаем, когда все виды релаксации — импульсная, энергетическая и спиновая — происходят из-за электрон-фононного взаимодействия, гамильтониан которого имеет вид

$$\mathcal{H}_{e-ph} = \sum_{p, q, \sigma} \lambda^{ij} u_{ij}(q, r_{\perp} = 0) a_{p\sigma}^+ a_{p-q\sigma}. \quad (6)$$

Здесь $a_{p\sigma}^+$ и $a_{p\sigma}$ — операторы рождения и уничтожения одномерных электронов с импульсом p и проекцией спина σ , а $u_{ij}(q, r_{\perp})$ — упругая деформация, отвечающая акустическому колебанию в смешанном представлении: импульсном по продольной координате и координатном — по поперечной. λ^{ij} — деформационный потенциал. Стандартная процедура вывода с учетом спиновой структуры зонного гамильтониана [6, 7] позволяет получить интегралы столкновений, выписанные в Приложении. При $V(mT)^{1/2} \ll \Omega_0 \ll T$ этот интеграл может быть упрощен. В рассма-

приваемой ситуации длина свободного пробега меньше всех пространственных размеров. Поэтому от кинетического уравнения можно перейти к уравнениям переноса для плотностей и токов

$$\left. \begin{aligned} \rho_0 &= \int f_0(dp), \quad M_i = \int f_i(dp), \\ J_0 &= \int \left(\frac{p}{m} f_0 - \frac{V}{2} f_x \right) (dp), \quad J_i = \int \left(\frac{p}{m} f_i - \frac{V}{2} f_0 \delta_{ix} \right) (dp), \end{aligned} \right\} \quad (7)$$

которые имеют вид

$$\frac{\partial \rho_0}{\partial t} + \frac{\partial J_0}{\partial z} = 0, \quad (8a)$$

$$\begin{aligned} \frac{\partial \mathbf{M}}{\partial t} + \frac{\partial \mathbf{J}}{\partial z} + [\mathbf{\Omega}_0 \times \mathbf{M}] + mV [\mathbf{n}_x \times \mathbf{J}] + \frac{\mathbf{M}}{T_2} + \\ + \frac{\{(\mathbf{M} - \mathbf{M}_0) \mathbf{\Omega}_0\} \mathbf{\Omega}_0}{\Omega_0^2} \left(\frac{1}{T_1} - \frac{1}{T_2} \right) = 0, \end{aligned} \quad (8b)$$

$$\left(\frac{\partial}{\partial t} + \frac{1}{\tau} \right) J_0 + \frac{D}{\tau} \frac{\partial \rho_0}{\partial z} - \frac{V}{2} \frac{\partial \mathcal{J}_x}{\partial z} + \frac{V}{2} \frac{\partial M_x}{\partial t} = \frac{eE}{m} \rho_0, \quad (8b)$$

$$\begin{aligned} \left(\frac{\partial}{\partial t} + \frac{1}{\tau} \right) \mathbf{J} + [\mathbf{\Omega}_0 \times \mathbf{J}] + \frac{V}{2} \rho_0 [\mathbf{\Omega}_0 \times \mathbf{n}_x] + VT [\mathbf{n}_x \times \mathbf{M}] + \\ + \frac{D}{\tau} \frac{\partial \mathbf{M}}{\partial z} - V \mathbf{n}_x \frac{\partial J_0}{\partial z} = \frac{eE}{m} \mathbf{M}. \end{aligned} \quad (8r)$$

В уравнениях (8) времена продольной и поперечной спиновой релаксации введены феноменологически. Интегралы столкновений в уравнениях (5a), (5б) содержат все компоненты \hat{f} , но при переходе к уравнениям переноса (8) столкновительный член становится диагональным по компонентам полных токов, определенным формулой (7). Это выражает тот факт, что эффективное трение пропорционально потоку электронов с учетом спин-орбитального вклада в их скорость. Как показано в Приложении, уравнения для J_0 и J_i содержат одно и то же время релаксации τ , которое связано с коэффициентом диффузии $D = T\tau/m$.

В уравнении (8) входит поле E , действующее на электроны. При обсуждении эксперимента следует иметь в виду, что реконструированные дислокации не проводят ток по всей своей длине, а состоят, видимо, из отдельных проводящих сегментов, чередующихся с непроводящими. На концах сегментов токи J_0 и J_i равны нулю. Это приводит к отличию действующего поля E от внешнего поля \mathcal{E} . Решив уравнения (8) совместно с уравнением Пуассона и граничными условиями, можно выразить J_0 и J_i через \mathcal{E} . В рассматриваемом здесь линейном случае $J_0 = \sigma(\omega) \mathcal{E}/e_x$, где $\sigma(\omega)$ — проводимость, а диэлектрическая проницаемость

$$\epsilon_{zz} = \epsilon_0 + in_d \frac{4\pi\sigma(\omega)}{\omega}, \quad (9)$$

где n_d — полная длина проводящих участков на дислокациях в единице объема, а ϵ_0 — статическая диэлектрическая проницаемость.

2. Ф о р м а л и н и К Р

А. О д н о р о д н ы й с л у ч а й. Рассмотрим сначала случай, когда проводящие отрезки достаточно длинны и разница между E и \mathcal{E} несущественна. В этом случае в системе (8) можно опустить все члены с пространственными производными. В линейном приближении в правых частях уравнений (8в), (8г) можно считать $\rho_0 = N$, а $\mathbf{M} = \mathbf{n}_x N \mathbf{\Omega}_0 / 2T$ (N — концен-

трация электронов на единицу длины дислокации). Из уравнений (8) получаем

$$\sigma(\omega) = e\mu(\omega)N - i \frac{N[mV\mu(\omega)\Omega_0]^2 \sin^2 \vartheta}{8T} \times \left\{ \omega - \Omega_0 + iD(mV)^2 \left[\cos^2 \vartheta + \frac{\sin^2 \vartheta}{2(1-i\omega\tau)} \right] + \frac{i}{T_2} \right\}^{-1} \quad (10)$$

Здесь $\mu(\omega) = e\tau/m(1-i\omega\tau)$ — высокочастотная подвижность, ϑ — угол между осью x и направлением Ω_0 . В обозначениях статьи [4]

$$\sin^2 \vartheta = 1 - \sin^2 \theta_H \sin^2 \varphi_H.$$

Резонансный знаменатель в (10) содержит кроме спин-решеточной релаксации $1/T_2$ также слагаемое, возникающее вследствие динамического сужения неоднородно-уширенной линии [8]. В нашем случае неоднородное уширение связано с тем, что для электронов с различными p частоты резонанса Ω_p различны. Знак резонансного слагаемого в (10) отвечает при $\omega\tau \ll 1$ антирезонансу — уменьшению поглощения на парамагнитной частоте. Этот знак связан с электродипольным характером КР: на парамагнитной частоте возникает резонансное увеличение вязкости из-за передачи энергии из поступательного движения электрона в его спиновые степени свободы, что приводит к уменьшению проводимости $\sigma(\omega)$. Максимальное уменьшение $\sigma(\omega)$ равно

$$\frac{\Delta\sigma}{\sigma(0)} = - \frac{\Omega_0^2}{4T^2} \frac{\text{tg}^2 \vartheta}{2 + \text{tg}^2 \vartheta + 2 [DT_2(mV)^2 \cos^2 \vartheta]^{-1}}. \quad (11)$$

В области высоких частот $\omega\tau \gg 1$ знак резонансной добавки меняется — резонанс.

Б. Учет деполяризующего фактора. Деполяризация не влияет на угловую зависимость $\sigma(\omega)$, поэтому для простоты ограничимся ориентацией $\Omega_0 \parallel z$. Учет деполяризующего фактора будет проведен для случая, когда взаимным влиянием проводящих отрезков на дислокациях можно пренебречь, что справедливо, если $4\pi\sigma n_d/\omega \ll 1$. На концах отрезка ($z = -L, L$) $J_0 = J_z = 0$. Электрическое поле с учетом перераспределения заряда равно

$$E = \mathcal{E} + \frac{e}{\epsilon_0} \int_{-L}^L \frac{dz' (z - z') \rho(z')}{\{b^2 + (z - z')^2\}^{3/2}}, \quad (12)$$

где $b \ll L$ — поперечный размер проводящего канала. Основной вклад в $E - \mathcal{E}$ вносят области $b \ll |z - z'| \ll L$. С логарифмической точностью

$$E = \mathcal{E} - \frac{e}{\epsilon_0} \frac{\partial \rho_0}{\partial z} \mathcal{Z}, \quad \mathcal{Z} = \ln \frac{L^2}{b^2}. \quad (13)$$

Используя уравнения (8), (13) и граничные условия, можно найти плотности ρ_0 , M и токи J_0 и J . При этом возникают три характерных масштаба пространственных изменений

$$\left. \begin{aligned} L_D &= [(D + e\mu\mathcal{Z}N\epsilon_0)/\omega]^{1/2}, \quad L_S = (D/\omega)^{1/2}, \\ L_R &= \left[D \left(\omega - \Omega_0 + \frac{i}{2} D(mV)^2 + \frac{i}{T_2} \right) \right]^{1/2} \end{aligned} \right\} \quad (14)$$

Из (14) видно, что $L_S \ll L_D$. В условиях резонанса $L_R \gg L_D$. Смысл этих длин становится ясен, если устремить $V \rightarrow 0$ в уравнениях (8). Тогда плотность ρ_0 и ток J_0 изменяются на длине L_D , M_x и J_x — на длине L_S , а резонансные величины $M_+ = M_x + iM_y$ и $J_+ = J_x + iJ_y$ — на длине L_R . Если $L \gg L_R$, то пространственными производными вообще можно пре-

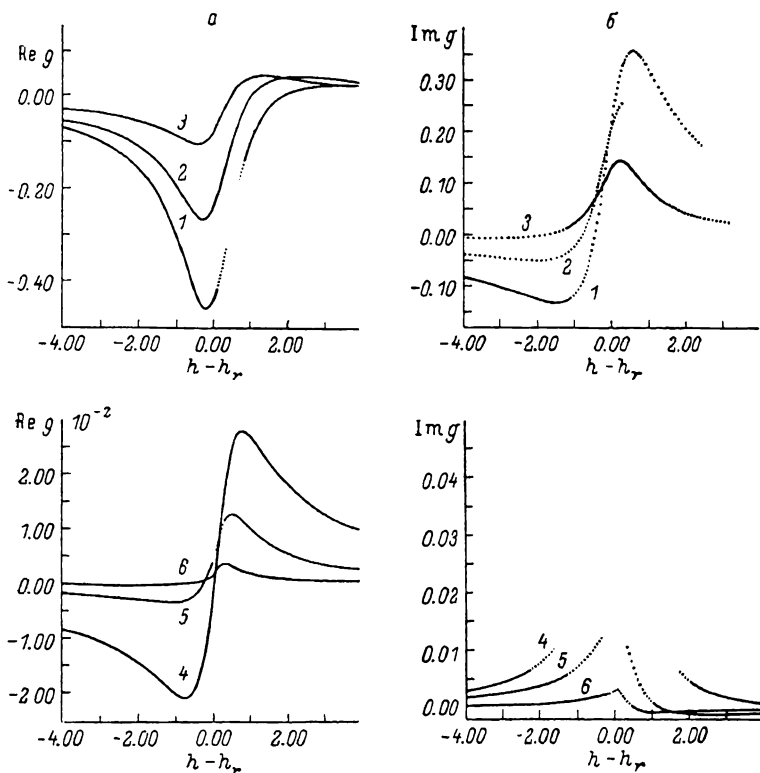
небреж и получают результаты пункта А. При $L \ll L_R$ имеем для усредненной по длине отрезка проводимости

$$\sigma(\omega) = eN\mu(\omega) S\left(\frac{L}{L_D}\right) - i \frac{N}{8T} \frac{(\mu(\omega) S(L/L_D) mV\Omega_0)^2}{\omega - \Omega_0 + \frac{i}{T_2} + i \frac{D(mV)^2}{2(1-i\omega\tau)} S\left(\frac{L}{L_S}\right)}. \quad (15)$$

Формула (15) отличается от формулы (10) при $\vartheta = \pi/2$ наличием структурных факторов $S(L/L_D)$ и $S(L/L_S)$ в амплитуде резонанса и в комплексной ширине,

$$S(x) = S_1 - iS_2 = 1 - \frac{e^{i\pi/4} \operatorname{th}(e^{-i\pi/4}x)}{x}. \quad (16)$$

При $x \rightarrow \infty$ фактор $S(x) \rightarrow 1$, и формула (15) переходит в формулу (10). Это значит, что влияние конечного размера проводящих сегментов начи-



Кривые усредненной резонансной проводимости в зависимости от магнитного поля (в безразмерных единицах) при $L_D = 3L_S$ и различных значениях L_0/L_D .

1 — 4, 2 — 2, 3 — 1, 4 — 0.5, 5 — 0.25, 6 — 0.17, а — реальная часть проводимости, б — ее мнимая часть.

нается не при $L \sim L_R$, а только при $L \sim L_D \ll L_R$. При $x \ll 1$ фактор $S(x) = -ix^2/3$ и кривые КР имеют вид обычного резонанса. При $x \sim 1$ действительная и мнимая части структурного фактора одного порядка, что приводит к существенному отличию формы резонансных кривых от обычной лоренцевской зависимости. В частности, при $L = 1.592 L_D$ действительная и мнимая части фактора $S(L/L_D)$ равны и $S^2(L/L_D)$ в числителе выражения (15) чисто мнимое. В этих условиях поглощение зависит от ω так же, как дисперсия в стандартном ЭПР, а дисперсия, как поглощение.

3. Обсуждение результатов

В принципе электродипольное поглощение с переворотом спина электрона (КР) возможно не только для зонных электронов, но и для состояний, локализованных на точечных дефектах без центра инверсии. Наблю-

дение угловой зависимости КР на реконструированных дислокациях в Si [4], строго говоря, указывает только на то, что максимальный дипольный момент перехода ориентирован вдоль оси дислокации, но может отвечать как одномерной зоне, так и соответствующим образом ориентированным локальным состояниям. Дополнительные свидетельства в пользу зонного характера электронных состояний дают изучение формы линии и ее температурной зависимости.

Электродипольный резонанс на локализованных состояниях должен описываться лоренцевской зависимостью от частоты или магнитного поля. Наблюдаемая экспериментально форма линии указывает на то, что в резонансной части $\sigma(\omega)$ имеется перемешивание действительной и мнимой части лоренцевской зависимости, отвечающее дополнительному фазовому фактору. Фазовый фактор вызван эффективной комплексной диэлектрической проницаемостью среды. Такая ситуация возможна только, если вдоль дислокаций имеется проводимость. У нас нет оснований думать, что $\omega\tau \gg 1$. При $\omega\tau \ll 1$ расчет дает антирезонанс (формула (10)). Наблюдаемую форму линии можно связать с деполяризацией в образце, содержащем конечные проводящие отрезки длиной $L \sim L_D$. При этом одновременно с изменением формы возникает зависящий от L сдвиг частоты резонанса

$$\Delta\Omega = \frac{1}{2} D (mV)^2 S_2 (L/L_D). \quad (17)$$

Из-за того что в образце существует разброс длин сегментов, этот сдвиг может обусловить неоднородное уширение, наблюдаемое в эксперименте. На рисунке приведены зависимости действительной и мнимой частей безразмерной проводимости $g=4\Delta\sigma T^2/\sigma(0)\Omega_0^2$ от безразмерного магнитного поля $h=2g\mu_B H/D(mV)^2$ при $1/T_2=0$, полученные усреднением (15) с пуассоновским распределением по длинам

$$P(L) = L_0^{-1} \exp(-L/L_0). \quad (18)$$

Кривые построены при различных соотношениях между L_0 и L_D и при $L_D=3L_S$.

ПРИЛОЖЕНИЕ

Для вывода столкновительного интеграла перейдем в представление, базисными функциями которого являются собственные функции $\Psi_\sigma^\alpha(p)$ спин-орбитального гамильтониана (3а)

$$f_{\sigma\sigma'}(p) = f_{\alpha\beta}(p) \Psi_\sigma^\alpha(p) \Psi_{\sigma'}^\beta(p), \quad (II, 1)$$

$$\Psi_1^+(p) = \Psi_2^-(p) = \cos(\theta_p/2), \quad \Psi_1^-(p) = -\Psi_2^+(p) = \sin(\theta_p/2),$$

θ_p — угол между векторами Ω_p и Ω_0 . В новом представлении электрон-фононный гамильтониан (6) имеет вид

$$\mathcal{H}_{e-ph} = \sum_{p, q, s} (2\rho\omega(q, s) \alpha_s)^{-1/2} \left(iq, \lambda_{js} u_j^s(0) + (1 - \delta_{nz}) \lambda_{jn} \frac{\partial u_j^s}{\partial x_n} \right) \times \\ \times O_{\alpha\beta}(p, p-q) (b_{qs} + b_{qs}^+) a_{p\alpha}^+ a_{p-q\beta}, \quad (II, 2)$$

где $O_{\alpha\beta}(p, p') = \sum_\sigma \Psi_\sigma^\alpha(p) \Psi_\sigma^\beta(p')$. В гамильтониане (II, 2) тензор деформации u_{ij} разложен по фононным модам; $b_{qs}, b_{qs}^+, \omega(q, s), u_j^s(q, r_\perp)$ обозначают соответственно фононные операторы, собственную частоту и собственный вектор фононной моды с продольным волновым вектором q и поперечным индексом s . Поперечный индекс описывает как непрерывный спектр, так и возможные локализованные моды.

Вывод столкновительного интеграла для физических систем, описывающих недиагональной матрицей плотности, дан в ряде работ [8]. Для

рассматриваемой системы столкновительный интеграл может быть записан в виде

$$I_{\alpha\beta}(p) = \frac{1}{2} \int (dp') \sum_{\mu, \nu} \{ [W_{p'-p}(\varepsilon'_\nu - \varepsilon_\alpha) + W_{p'-p}(\varepsilon'_\mu - \varepsilon_\beta)] O_{\alpha\nu}(p, p') f'_{\nu\mu} O_{\mu\beta}(p', p) - W_{p-p'}(\varepsilon_\mu - \varepsilon'_\nu) [f_{\alpha\mu} O_{\mu\nu}(p, p') O_{\nu\beta}(p', p) + O_{\alpha\nu}(p, p') O_{\nu\mu}(p', p) f_{\mu\beta}] \}. \quad (\text{II, 3})$$

Здесь

$$\varepsilon_{1,2}(p) = p^2/2m \mp \frac{1}{2} (\Omega_0^2 + (Vp)^2 + 2\Omega_0 Vp \cos \vartheta)^{1/2}$$

— собственные значения спин-орбитального гамильтониана (3а),

$$W_q(\omega) = \pi \sum_{s, j, n} \frac{|iq\lambda_{js}u_j^* + (1 - \delta_{nz})\lambda_{jn} \frac{\partial u_j^*}{\partial x_n}|^2}{2\rho_q(\omega, s)} [(N_{q,s} + 1) \delta(\omega - \omega(q, s)) + N_{q,s} \delta(\omega + \omega(q, s))],$$

$N_{q,s}$ — Бозе-фактор. Переходя к исходному представлению для матрицы плотности и интеграла столкновений и разлагая \hat{f} и \hat{I} по матрицам Паули, приходим к следующему выражению для I_j ($j=0, x, y, z$)

$$I_j(p) = \frac{1}{4} \sum_{\substack{\sigma, \sigma', i \\ \alpha, \beta}} \int (dp') \Psi_\sigma^\alpha(p) O_{\alpha\beta}(p, p') \Psi_{\sigma'}^\beta(p') [W_{p'-p}(\varepsilon'_\beta - \varepsilon_\alpha) f'_i ((\partial^i \partial^j)_{\sigma\sigma'} + (\partial^j \partial^i)_{\sigma\sigma'}) - W_{p-p'}(\varepsilon_\alpha - \varepsilon'_\beta) f_i ((\partial^j \partial^i)_{\sigma'\sigma} + (\partial^i \partial^j)_{\sigma'\sigma})]. \quad (\text{II, 4})$$

Из выражения (II, 4) следует тождество $\int dp I_j(p) = 0$.

В экспериментальной ситуации практически всегда выполняются неравенства $V(mT)^{1/2} \ll \Omega_0 \ll T$. Разлагая $I_j(p)$ по малым параметрам $V(mT)^{1/2}/\Omega_0$ и Ω_0/T , получим с линейной по V точностью

$$I_j(p) = \int (dp') \left\{ [W_{p'-p}(\varepsilon' - \varepsilon) f'_i - W_{p-p'}(\varepsilon - \varepsilon') f_i] + \frac{1}{8} V(p-p') \sigma_{\sigma\sigma'}^z \times \right. \\ \times \left[\frac{\partial W_{p'-p}(\varepsilon' - \varepsilon)}{\partial \varepsilon} f'_i ((\partial^i \partial^j)_{\sigma\sigma'} + (\partial^j \partial^i)_{\sigma\sigma'}) + \frac{\partial W_{p-p'}(\varepsilon - \varepsilon')}{\partial \varepsilon} \times \right. \\ \left. \left. \times f_i ((\partial^j \partial^i)_{\sigma\sigma'} + (\partial^i \partial^j)_{\sigma\sigma'}) \right] \right\}. \quad (\text{II, 5})$$

При выводе уравнений переноса необходимо сделать подстановки

$$f_0(p) = \rho_0 n_0(p) - m \left(J_0 - \frac{V}{2} M_x \right) \frac{\partial n_0}{\partial p}, \quad f(p) = M n_0(p) - m \left(J - \frac{V}{2} \rho_0 n_x \right) \frac{\partial n_0}{\partial p},$$

где $n_0(p)$ — фактор Больцмана, и проинтегрировать по p произведение $p I_j(p)/m$. Вычисления приводят к результату

$$\int (dp) p I_j(p)/m = -J_j/\tau,$$

где $\tau = mT \left\{ \int (dp) (dp') W_{p'-p}(\varepsilon' - \varepsilon) n_0(\varepsilon') (p - p')^2 \right\}^{-1}$ — транспортное время релаксации.

Авторы благодарны В. В. Кведеру и А. И. Шалинину за многочисленные обсуждения, а также В. В. Татарскому и С. В. Мешкову за помощь при численном построении кривых,

Л и т е р а т у р а

- [1] Раиба Э. И. УФН, 1964, т. 84, № 4, с. 557—578.
 [2] Grazhulis V. A., Kveder V. V., Ossipyan Yu. A. Phys. St. Sol. (b), 1981, vol. 103, N 2, p. 519—528.

- [3] Кведер В. В., Осипьян Ю. А., Шалыгин А. И. Письма в ЖЭТФ, 1984, т. 40, № 1, с. 10—12.
- [4] Кведер В. В., Кравченко В. Я., Мчелидзе Т. Р., Осипьян Ю. А., Хмельницкий Д. Е., Шалыгин А. Е. Письма в ЖЭТФ, 1986, т. 43, N 4, с. 202—205.
- [5] Кведер В. В., Мчелидзе Т. Р., Осипьян Ю. П., Шалыгин А. И. ЖЭТФ, 1987, т. 93.
- [6] Лифищ Е. М., Пятаевский Л. П. Физическая кинетика. М.: Наука, 1979. 528 с.
- [7] Александров И. В. Теория магнитной релаксации. М.: Наука, 1975. 400 с.
- [8] Дьяконов М. И., Перель В. И. ФТТ, 1971, т. 13, № 12, с. 3581—3585.

Институт физики твердого тела АН СССР
Черноголовка
Московская область

Поступило в Редакцию
31 июля 1987 г.